

УДК 539.3

НАПРУЖЕНО-ДЕФОРМОВАНИЙ СТАН ПІВПЛОЩИНИ З ВНУТРІШНІМИ ПРИПОВЕРХНЕВИМИ ТРІЩИНАМИ

В. С. КРАВЕЦЬ

Фізико-механічний інститут ім. Г. В. Карпенка НАН України, Львів

Методом сингулярних інтегральних рівнянь розв'язано пружну та пружно-пластичну (в межах моделі смуг пластичності) задачі теорії пружності та механіки руйнування для півплощини з внутрішніми гладкими та кусково-гладкими тріщинами. Числові розв'язки інтегральних рівнянь отримано методом механічних квадратур. Визначено коефіцієнти інтенсивності напружень у вершинах кусково-гладких приповерхневих тріщин, досліджено їх залежності від геометричних параметрів задачі за внутрішнього тиску на берегах тріщини та розтягу півплощини на нескінченності. У пружно-пластичній задачі досліджено вплив вільного краю півплощини, рівня навантаження та форми тріщини на розкриття в її вершинах, довжини та кути орієнтації прямолінійних смуг пластичності, які виходять з вершин тріщини.

Ключові слова: півплощина, плоска задача, сингулярні інтегральні рівняння, кусково-гладка тріщина, коефіцієнти інтенсивності напружень, смуги пластичності, розкриття тріщини.

На основі побудованих інтегральних зображень комплексних потенціалів напружень для двовимірних пружних тіл з криволінійними тріщинами [1] розроблено методи розв'язування широкого класу плоских задач математичної теорії тріщин для ізотропних тіл [2, 3]. Дослідженню кусково-гладких тріщин присвячено багато праць (див. огляд [3]). У межах моделей смуг пластичності отримано розв'язки відповідних пружно-пластичних задач [4, 5] для різних плоских областей. Розроблено також методика розв'язування пружних та пружно-пластичних задач для півплощин з тріщинами [2, 6, 7].

Нижче розв'язано плоскі задачі теорії пружності для півплощини з внутрішніми кусково-гладкими тріщинами та пружно-пластичні задачі механіки руйнування (в межах моделі смуг пластичності) для півпластини з приповерхневою криволінійною тріщиною.

Розроблену методику розв'язування поставлених задач можна використати для математичного моделювання практично важливих задач щодо блістерінгу (появи різного роду приповерхневих тріщин, пор і каверн) в результаті наводнення металів [8, 9]. Зокрема, за відомими з експериментальних досліджень формами поверхонь наводнених металів можна оцінити рівні внутрішніх тисків водню у блістерах.

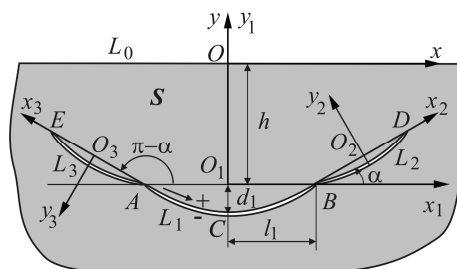
Пружна задача. Розглянемо ізотропну півплощину S (з краєм L_0 вздовж осі Ox основної декартової системи координат xOy) зі системою трьох внутрішніх криволінійних тріщин L_n ($n = \overline{1,3}$), з'єднаних між собою у вершинах A, B (рис. 1) та віднесених до локальних декартових систем координат $x_n O_n y_n$. Зв'язок між координатами точок у цих системах задано співвідношенням $z = z_n \exp(i\alpha_n) + z_n^0$, $z = x + iy$, $z_n = x_n + iy_n$, де z_n^0 – комплексні координати початків локальних сис-

Контактна особа: В. С. КРАВЕЦЬ, e-mail: vlad@ipm.lviv.ua

тем координат O_n , α_n – кути між осями абсцис основної та локальних систем координат.

Рис. 1. Півплощина з кусково-гладкою триланковою тріщиною.

Fig. 1. A half-plane with a piecewise smooth three-sectional crack.



Край півплощини L_0 вільний від навантажень:

$$\sigma_y(x) + i\tau_y(x) = 0, \quad y = 0, \quad x \in (-\infty; \infty). \quad (1)$$

На нескінченності півплощина розтягується вздовж осі Ox сталими напруженнями p , а на берегах тріщин L_n задані самозрівноважені напруження

$$\sigma_n^\pm(t_n) + i\tau_n^\pm(t_n) = p_n(t_n), \quad t_n \in L_n, \quad n = 1; 2; 3, \quad (2)$$

де $\sigma_n(t)$, $\tau_n(t)$ – нормальна та дотична компоненти напружень на контурі L_n , верхній знак індексу “+” (“-”) вказує на граничне значення відповідної величини за прямування до контуру тріщини L_n зліва (справа) відносно вибраного напрямку його обходу.

Комплексні потенціали для півплощини з внутрішніми тріщинами L_n визначають вирази [1, 2, 7]

$$\Phi(z) = \Phi_1(z) + \Phi_0(z) + \Phi_\infty(z), \quad \Psi(z) = \Psi_1(z) + \Psi_0(z) + \Psi_\infty(z),$$

$$\Phi_1(z) = \frac{1}{2\pi} \sum_{k=1}^3 \int_{L_k} \frac{g'_k(t_k)}{T_k - z} e^{i\alpha_k} dt_k,$$

$$\Psi_1(z) = \frac{1}{2\pi} \sum_{k=1}^3 \int_{L_k} \left[\frac{\overline{g'_k(t_k)}}{T_k - z} e^{-i\alpha_k} dt_k - \frac{\overline{T_k} g'_k(t_k)}{(T_k - z)^2} e^{i\alpha_k} dt_k \right],$$

$$\Phi_0(z) = \frac{1}{2\pi} \sum_{k=1}^3 \int_{L_k} \left[\frac{1}{z - T_k} g'_k(t_k) e^{i\alpha_k} dt_k + \frac{(T_k - \overline{T_k})}{(T_k - z)^2} \overline{g'_k(t_k)} e^{-i\alpha_k} dt_k \right],$$

$$\Psi_0(z) = \frac{1}{2\pi} \sum_{k=1}^3 \int_{L_k} \left[\frac{\overline{T_k}}{(T_k - z)^2} g'_k(t_k) e^{i\alpha_k} dt_k + \left\{ \frac{(\overline{T_k} - T_k)(\overline{T_k} + z)}{(T_k - z)^3} - \frac{1}{T_k - z} \right\} \overline{g'_k(t_k)} e^{-i\alpha_k} dt_k \right],$$

$$\Phi_\infty(z) = p/4; \quad \Psi_\infty(z) = -p/2.$$

Тут невідомі функції – похідні стрибків переміщень на контурах тріщин L_k

$$g'_k(t_k) = \frac{2G}{i(1+\kappa)} \frac{d}{dt_k} \left\{ [u_k(t_k) + iv_k(t_k)]^+ - [u_k(t_k) + iv_k(t_k)]^- \right\}, \quad t_k \in L_k, \quad (3)$$

де u_k , v_k – декартові компоненти переміщень точки t_k у локальних системах координат $x_k O_k y_k$, $\kappa = 3 - 4\mu$, $\kappa = (3 - \mu)/(1 + \mu)$ для плоскої деформації та узагальненого плоского напруженого стану півплощини, μ – коефіцієнт Пуассона; $T_k = t_k e^{i\alpha_k} + z_k^0 \in L_k$, $k = 1; 2; 3$.

Крайову задачу (1), (2) про напружено-деформований стан півплощини S з

криволінійними тріщинами зводимо до системи трьох сингулярних інтегральних рівнянь [2, 6, 7]

$$\sum_{k=1}^3 \int_{L_k} \left\{ R_{nk}(t_k, t'_n) g'_k(t_k) dt_k + S_{nk}(t_k, t'_n) \overline{g'_k(t_k) dt_k} \right\} = \pi f_n(t'_n), \quad t'_n \in L_n, \quad n = 1; 2; 3 \quad (4)$$

відносно невідомих функцій (3). Праві частини рівнянь мають вигляд

$$f_n(t_n) = p_n(t_n) - p(1 - e^{-2i\alpha_n} \overline{dt_n} / dt_n) / 2,$$

а ядра за умови вільного краю (1) визначаємо з виразів [6, 7]

$$\begin{aligned} R_{nk}(t_k, t'_n) &= \frac{e^{i\alpha_k}}{2} \left\{ \frac{1}{T_k - T'_n} - \frac{1}{\overline{T_k} - \overline{T'_n}} + \frac{\overline{T_k} - T_k}{(T_k - \overline{T'_n})^2} + \right. \\ &+ \left. e^{-2i\alpha_n} \frac{d\overline{t'_n}}{dt'_n} \left[\frac{1}{\overline{T_k} - \overline{T'_n}} - \frac{1}{T_k - \overline{T'_n}} + (T_k - \overline{T_k}) \left\langle -\frac{1}{(T_k - \overline{T'_n})^2} + \frac{2(T_k - T'_n)}{(T_k - \overline{T'_n})^3} \right\rangle \right] \right\}, \\ S_{nk}(t_k, t'_n) &= \frac{e^{-i\alpha_k}}{2} \left\{ \frac{1}{\overline{T_k} - \overline{T'_n}} - \frac{1}{T_k - \overline{T'_n}} + \frac{T_k - \overline{T_k}}{(T_k - T'_n)^2} + \right. \\ &+ \left. e^{-2i\alpha_n} \frac{d\overline{t'_n}}{dt'_n} \left[-\frac{T_k - T'_n}{(T_k - \overline{T'_n})^2} + \frac{T_k - T'_n}{(T_k - \overline{T'_n})^2} \right] \right\}. \end{aligned}$$

Для з'єднаної триланкової тріщини *EACBD* розв'язки системи (4) повинні задовольняти одну умову однозначності переміщень $\sum_{k=1}^3 e^{i\alpha_k} \int_{L_k} g'_k(t_k) dt_k = 0$ [4]

за обходу контуру тріщини $L = L_3 \cup L_1 \cup L_2$.

Для симетричної задачі (рис. 1) маємо залежності

$$\begin{aligned} g'_3(t_3) &= \overline{g'_2(t_2)}, \quad f_3(t_3) = \overline{f_2(t_2)}, \quad t_3 = \overline{t_2}, \quad dt_3 = \overline{dt_2}, \\ \alpha_1 &= 0, \quad z_1^0 = O_1 = (0; -ih), \quad \alpha_2 = \alpha, \quad z_2^0 = O_2 = l_1 + l_2 e^{i\alpha}, \\ \alpha_3 &= \pi - \alpha, \quad z_3^0 = O_3 = -l_1 + l_2 e^{-i\alpha}, \end{aligned}$$

$$t_k = l_k \omega_k(\xi) \in L_k, \quad \xi \in [-1; +1], \quad k = 1, 2; \quad \omega_3(\xi) = \overline{\omega_2(\xi)}, \quad l_3 = l_2, \quad (5)$$

де $2l_1 = |AB|$, $2l_2 = |BD| = |AE|$. Врахувавши їх, задачу зводимо до двох інтегральних рівнянь

$$\begin{aligned} &\int_{L_2} \left\{ \langle R_{12}(T_2, T'_1) + S_{13}(T_3, T'_1) \rangle g'_2(t_2) dt_2 + \langle S_{12}(T_2, T'_1) + R_{13}(T_3, T'_1) \rangle \overline{g'_2(t_2) dt_2} \right\} + \\ &+ \int_{L_1} \left\{ R_{11}(T_1, T'_1) g'_1(t_1) dt_1 + S_{11}(T_1, T'_1) \overline{g'_1(t_1) dt_1} \right\} = \pi f_1(t'_1), \quad t'_1 \in L_1, \quad T'_1 = t'_1 - ih; \end{aligned} \quad (6)$$

$$\begin{aligned} &\int_{L_2} \left\{ \langle R_{22}(T_2, T'_2) + S_{23}(T_3, T'_2) \rangle g'_2(t_2) dt_2 + \langle S_{22}(T_2, T'_2) + R_{23}(T_3, T'_2) \rangle \overline{g'_2(t_2) dt_2} \right\} + \\ &+ \int_{L_1} \left\{ R_{21}(T_1, T'_2) g'_1(t_1) dt_1 + S_{21}(T_1, T'_2) \overline{g'_1(t_1) dt_1} \right\} = \pi f_2(t'_2), \end{aligned} \quad (7)$$

$$t'_2 \in L_2, \quad T'_2 = (t'_2 + l_2) e^{i\alpha} + l_1$$

за умови однозначності переміщень

$$\int_{L_1} g'_1(t_1) dt_1 + 2i \operatorname{Im}(e^{i\alpha}) \int_{L_2} g'_2(t_2) dt_2 = 0. \quad (8)$$

Перейдемо до безрозмірних змінних, враховуючи параметричні рівняння контурів L_1, L_2 (5) та використавши заміни для невідомих функцій

$$\varphi_k(\xi) = \frac{g'_k(t_k) dt_k}{\sigma l_k d\xi} = \frac{g'_k(t_k) d\omega_k(\xi)}{\sigma d\xi}, \quad k=1; 2, \quad (9)$$

які необмежені на кінцях проміжків інтегрування [2]

$$\varphi_k(\xi) = w_k(\xi) / \sqrt{1-\xi^2}, \quad \xi \in [-1; 1], \quad k=1; 2. \quad (10)$$

Тут σ – параметр навантаження (розмірності напружень), $l_1 = |AB|/2$ – основний лінійний параметр задачі.

Записавши рівняння (6)–(8) у безрозмірному вигляді, методом квадратур [2, 3] зведемо їх до системи $N_1 + N_2 - 1$ комплексних лінійних алгебричних рівнянь відносно $N_1 + N_2$ невідомих значень функцій $w_1(\xi_{1k}), w_2(\xi_{2k})$ (10) у чебишовських вузлах $\xi_{jk} = \cos\{\pi(2k-1)/(2N_j)\}$, $k = \overline{1, N_j}$; $j=1; 2$. Для замкнутості отриманої системи лінійних алгебричних рівнянь додамо одну з умов ($w_1(+1)=0$; $w_2(-1)=0$) обмеженості невідомих функцій $g'_1(t_1), g'_2(t_2)$ (9) у спільній вершині B (рис. 1). Запишемо ці умови у дискретному вигляді

$$\frac{1}{N_1} \sum_{k=1}^{N_1} (-1)^k w_1(\xi_{1k}) \operatorname{ctg}\left(\frac{2k-1}{4N_1}\pi\right) = 0 \quad \text{або} \quad \frac{1}{N_2} \sum_{k=1}^{N_2} (-1)^k w_2(\xi_{2k}) \operatorname{tg}\left(\frac{2k-1}{4N_2}\pi\right) = 0.$$

Враховуючи прийняті заміни (9), (10), коефіцієнти інтенсивності напружень (КІН) у кінці тріщини L_2 (вершині D) отримаємо зі співвідношення [2]

$$K_I^+ - iK_{II}^+ = -\sigma w_2(+1) \sqrt{\pi l_2} |\omega'_2(+1)| / \omega'_2(+1), \quad \omega'_2(+1) = \{d\omega_2(\xi)/d\xi\}_{\xi=1}.$$

Відносні КІН для загальної ламаної тріщини $L = L_3 \cup L_1 \cup L_2$ визначимо за формулою

$$F_I - iF_{II} \equiv \frac{K_I^+ - iK_{II}^+}{\sigma \sqrt{\pi l}} = -\sqrt{\frac{l_2}{l}} w_2(+1) \frac{\sqrt{|\omega'_2(+1)|}}{\omega'_2(+1)}, \quad (11)$$

$$\text{де} \quad l = l_1 + 2l_2 \cos \alpha; \quad w_2(+1) = -\frac{1}{N_2} \sum_{k=1}^{N_2} (-1)^k w_2(\xi_{2k}) \operatorname{ctg}\left(\frac{2k-1}{4N_2}\pi\right).$$

Розраховували відносні КІН у вершині D (11) за двох типів навантаження: внутрішнього тиску на берегах кусково-гладкої тріщини $L = EACBD$ ($\sigma_1 = \sigma_2 = \sigma$, $\tau_1 = \tau_2 = 0$) та розтягу півплощини на нескінченності вздовж осі Ox напруженнями $p = \sigma$ (рис. 2–4). Визначили зміни КІН від відносної довжини ($a = l_2/l_1 \in [0,05; 0,95]$) нахиленої ($\alpha = \pi/6$) прямолінійної тріщини L_2 для різних глибин залягання (відстаней від поверхні L_0) ($\gamma = h/l_1 \in \{1; 1,5; 2; 4\}$) центральної частини L_1 кусково-прямолінійної тріщини L (рис. 2). Зростання довжини контуру L_2 призводить до істотно збільшення КІН, особливо для малих відносних глибин ($\gamma < 2$) за внутрішнього тиску на береги тріщини L (рис. 2a). Для великих значень параметра γ отримали відомі значення КІН для площини з ламаними кусково-прямолінійними тріщинами [2, 3].

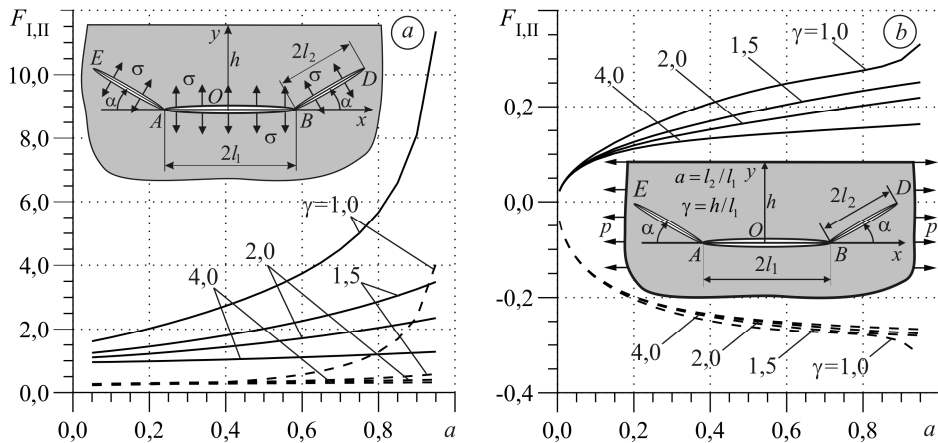


Рис. 2. Залежність відносних КІН у вершині D (F_I – суцільні лінії, F_{II} – штрихові) від параметра $a = l_2/l_1$ для $\alpha = \pi/6$ та різних значень $\gamma = h/l_1$ за внутрішнього тиску на тріщині L (a) та розтягу півплощини на нескінченності (b).

Fig. 2. Dependence of the relative stress intensity factors (SIF) at the tip D (F_I – solid lines, F_{II} – dashed lines) on parameter $a = l_2/l_1$ for $\alpha = \pi/6$ and different values of $\gamma = h/l_1$ for internal pressure at crack L (a) and tension of a half-plane at infinity (b).

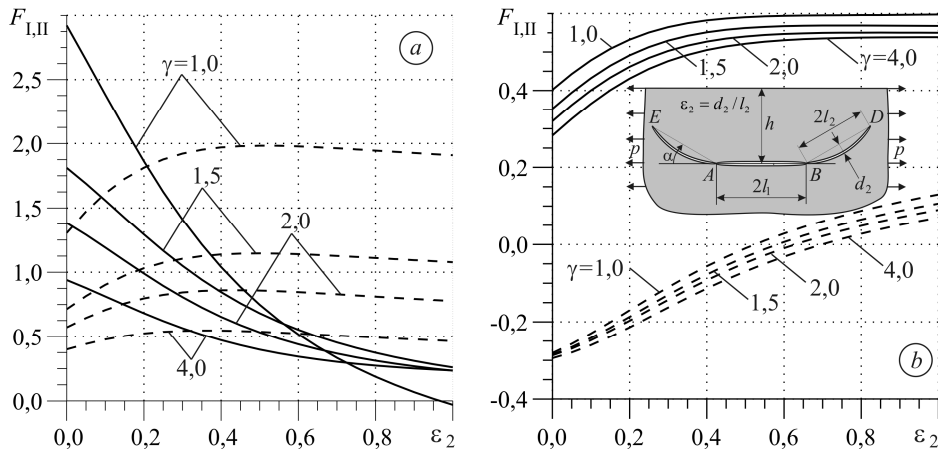


Рис. 3. Вплив параметра кривини $\epsilon_2 = d_2/l_2$ параболічного контуру L_2 на КІН (F_I – суцільні лінії, F_{II} – штрихові) для $\alpha = \pi/6$ та різних значень $\gamma = h/l_1$ за внутрішнього тиску на тріщині L (a) та розтягу півплощини (b).

Fig. 3. Effect of parameters of curvature $\epsilon_2 = d_2/l_2$ parabolic contour L_2 on SIF (F_I – solid lines, F_{II} – dashed lines) for $\alpha = \pi/6$ and different values of $\gamma = h/l_1$ for internal pressure at crack L (a) and tension of a half-plane (b).

Розглянули криволінійні форми контурів L_1, L_2 (5) вздовж дуги параболі

$$\omega_n(\xi) = \xi + i\epsilon_n(\xi^2 - 1), \quad \xi \in [-1; +1], \quad n = 1; 2 \quad (12)$$

у локальних системах координат $x_n O_n y_n$ (рис. 1). Тут $\epsilon_n = d_n/l_n$, $n = 1; 2$ – відносні центральні прогини контурів L_1, L_2 (рис. 3b). Криволінійність контуру L_1 мало впливає на КІН (11). Для немалих довжин контурів L_2 ($a > 0,1$) зміна параметра $\epsilon_1 = d_1/l_1$ у межах $[0; 1]$ призводить до відносних змін КІН, які не перевищують 5% (за незмінності форми та розташування контуру L_2). Визначили вплив

криволінійності контуру L_2 на КІН (11) для різних відносних глибин $\gamma = h/l_1$ кусково-гладкої тріщини L (рис. 3). Розрахунки здійснили для $\varepsilon_1 = 0$, $\varepsilon_2 \in [0; 1]$, $\alpha = \pi/6$, $a = l_2/l_1 = 0,5$.

Дослідили вплив форми (12) та орієнтації (кута α) контуру L_2 відносно центральної прямолінійної ділянки L_1 на зміни КІН для різних глибин залягання тріщини L (параметр γ) за внутрішнього тиску на її берегах (рис. 4). Для прямолінійних контурів L_2 ($\varepsilon_2 = 0$) за $a = 0,45$ існують кути $\alpha \approx 0,5$ ($28,6^\circ$), для яких $F_{II} = \text{const}$ незалежно від параметра γ (рис. 4a). За наближення вершини D відповідної параболічної тріщини L_2 ($\varepsilon_2 = 0,2$) до краю півплощини ($\gamma = 1$; $\alpha > 1,35$ (76°)) можливий контакт берегів тріщини біля вершини D ($F_I(D) < 0$, рис. 4b).

За відсутності контурів L_2, L_3 обчислені КІН для різних криволінійних тріщин L_1 та типів навантаження півплощини узгоджуються з відомими [2, 7].

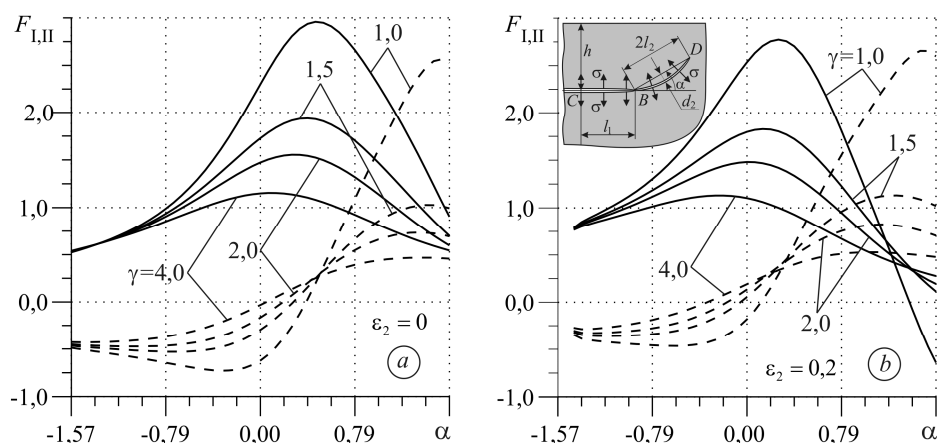


Рис. 4. Вплив кута нахилу прямолінійного (a) та параболічного (b) контуру L_2 на КІН (F_I – суцільні лінії, F_{II} – штрихові) для різних значень параметра $\gamma = h/l_1$ за внутрішнього тиску на тріщині L .

Fig. 4. Effect of inclination angle of rectilinear (a) and parabolic (b) crack contour on SIF (F_I – solid lines, F_{II} – dashed lines) for different values of parameter $\gamma = h/l_1$ for internal pressure at crack L .

Пружно-пластична задача в межах моделі смуг пластичності. У механіці руйнування набув поширення метод розв'язування плоских пружно-пластичних задач за припущення, що пластичні деформації локалізуються в тонких шарах (смугах пластичності), які виходять з вершин тріщини [4, 5, 10]. Ці шари моделювали розривами переміщень на лініях, де виконуються умови пластичності і поза якими тіло вважали пружним. Таким чином, задачу про розвиток смуг пластичності в тілі з тріщиною зводили до крайової задачі теорії пружності для області з тріщиною, з вершин якої виходили бічні розрізи, якими моделювали смуги пластичності. Їх розміри і орієнтації знаходили під час розв'язування задачі.

Розглянемо пружно-пластичну задачу для півнескінченної пластини S (послкий напружений стан) з криволінійною Oy -симетричною приповерхневою тріщиною L_1 за сталого внутрішнього тиску σ на її берегах за припущення, що з вершин тріщини A, B під деяким невідомим кутом α виходять дві симетричні прямолінійні пластичні смуги L_2, L_3 (рис. 5a). На цих відрізках зазнають розриву як нормальні, так і дотичні переміщення. Вважаємо, що матеріал півпластини іде-

ально пружно-пластичний, а на смугах L_2, L_3 виконуються умови текучості Треска–Сен-Венана (теорія максимального дотичного напруження). Тоді отримуємо плоску задачу теорії пружності для півпластини з вільним краєм L_0 (1) та розрізом $L = L_3 \cup L_1 \cup L_2$, на берегах якого задані крайові умови (2), у яких

$$p_1(t_1) = -\sigma, t_1 \in L_1; \quad p_n(t_n) = \sigma_Y, t_n \in L_n, n = 2; 3, \quad (13)$$

σ_Y – границя текучості матеріалу за розтягу. Крайову симетричну задачу (1), (2), (13) зведемо до розв’язування двох інтегральних рівнянь (6), (7) за умови (8) відносно невідомих функцій стрибків переміщень

$$g_k(t_k) = 2G\{(v_k^+(t_k) - v_k^-(t_k)) - i(u_k^+(t_k) - u_k^-(t_k))\}/(1 + \kappa), t_k \in L_k, k = 1; 2. \quad (14)$$

Для визначення довжини $2l_2$ смуги пластичності L_2 та кута її орієнтації α використали умови обмеженості напружень у вершині D смуги L_2 , які еквівалентні умові рівності нулю відносних КІН (11) $F_I(l_2, \alpha) - iF_{II}(l_2, \alpha) = 0$. Із розглянутих кутів α знаходимо такий ($\alpha = \alpha_*$), за якого довжина $2l_2$ смуги пластичності L_2 максимальна. Відносна довжина $2a = 2l_2/l_1$ та кут орієнтації α_* смуги пластичності суттєво залежать від глибини залягання тріщини L_1 відносно краю півплощини та рівня навантаження берегів тріщини (рис. 5). Форма тріщини L_1 (відносний прогин $\varepsilon_1 = d_1/l_1$) має суттєвий вплив на параметри смуги пластичності a і α_* лише за неглибокого розміщення тріщини L_1 ($\gamma = h/l_1 \leq 1$).

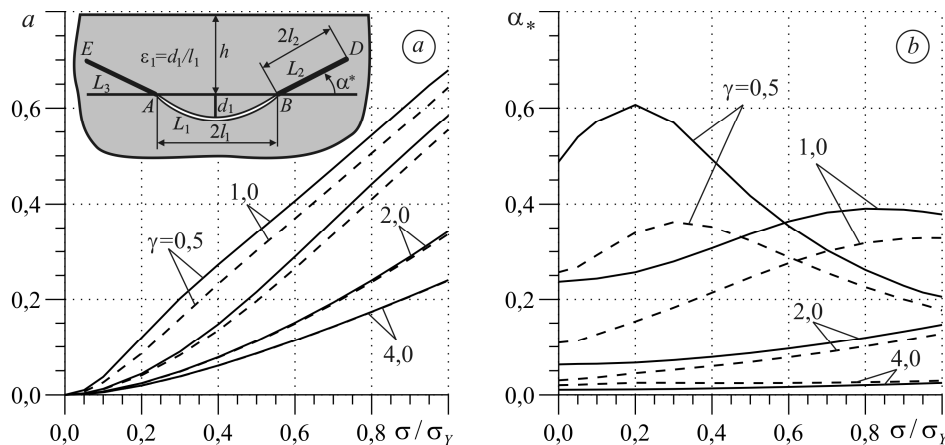


Рис. 5. Вплив рівня навантаження берегів прямолінійної (суцільні лінії) та параболічної $\varepsilon_1 = 0,25$ (штрихові) тріщини L_1 на відносну півдовжину $a = l_2/l_1$ смуги пластичності (a) та кут її орієнтації α_* (b) для різних значень параметра $\gamma = h/l_1$.

Fig. 5. Influence of load level at rectilinear (solid lines) and parabolic $\varepsilon_1 = 0,25$ (dashed lines) crack faces on the relative half-length $a = l_2/l_1$ of plastic band (a) and the angle of orientation α_* (b) for different values of parameter $\gamma = h/l_1$.

Для великих глибин залягання прямолінійної тріщини L_1 ($h/l_1 \geq 100$) знайдені довжини смуг пластичності узгоджуються з відомими [4, 10] для нескінченної пластини за різних рівнів навантажень берегів тріщини.

Зауважимо, що для малих навантажень ($\sigma/\sigma_Y < 0,05$) тріщини L_1 кут нахилу смуги пластичності $\alpha_* \rightarrow \theta_* + \theta_B$ (рис. 5b), де θ_B – кут між додатною дотичною

до контуру L_1 у точці B та віссю Ox , $\theta_* = 2 \arctg \{(K_I - \sqrt{K_I^2 + 8K_{II}^2}) / (4K_{II})\}$ – кут початкового поширення тріщини L_1 з вершини B (відносно дотичної у точці B), знайдений за σ_θ -критерієм поширення тріщини L_1 [2, 6]. Тут K_I, K_{II} – КІН у вершині B тріщини L_1 .

Використовуючи вираз (14), компоненти вектора стрибка переміщень у вершинах A, B криволінійної тріщини L_1 (розкриття у вершинах тріщини) знаходимо за формулою

$$\begin{aligned} \delta_I(\pm l_1) - i\delta_{II}(\pm l_1) &\equiv (v_1^+(\pm l_1) - v_1^-(\pm l_1)) - i(u_1^+(\pm l_1) - u_1^-(\pm l_1)) = \\ &= (1 + \kappa)g_1(\pm l_1)/(2G). \end{aligned} \quad (15)$$

Нормальна δ_I та дотична δ_{II} компоненти розкриття тріщини у її вершинах належать до основних параметрів нелінійної механіки руйнування. З їх допомогою визначають гранично-рівноважний стан тіл з тріщинами [4, 11].

Стрибки переміщень (15) у вершині B криволінійної тріщини L_1 пов'язані зі стрибками переміщень на початку бічного прямолінійного розрізу L_2 залежністю [4]

$$g_1(+l_1) \frac{\omega_1'(+1)}{|\omega_1'(+1)|} = g_2(-l_2) e^{i\alpha}, \quad (16)$$

де
$$\frac{\omega_1'(+1)}{|\omega_1'(+1)|} = \frac{dt_1}{|dt_1|} = e^{i\theta_B}, \quad g_2(-l_2) = - \int_{-l_2}^{+l_2} g_2'(t) dt, \quad g_2(+l_2) = 0.$$

Використавши вирази (9), (10), (15), (16), відносно розкриття у вершині B криволінійної тріщини L_1 обчислювали за формулою

$$(\Delta_I - i\Delta_{II})(B) \equiv \frac{G}{l_1 \sigma_T} \{\delta_I(B) - i\delta_{II}(B)\} = - \frac{(1 + \kappa)l_2}{2l_1} e^{i(\alpha - \theta_B)} \frac{\pi}{N_2} \sum_{k=1}^{N_2} w_2(\xi_{2k}). \quad (17)$$

Враховуючи симетрію задачі, для вершини A отримаємо:

$$(\Delta_I - i\Delta_{II})(A) = (\Delta_I + i\Delta_{II})(B).$$

Характер зміни відносних розкриттів Δ_I, Δ_{II} (17) у вершині B від прогину криволінійної тріщини L_1 (параметра $\varepsilon_1 = d_1 / l_1$) для різних глибин $h \in$ подібним для всього діапазону зміни навантаження ($0 < \sigma / \sigma_Y < 1$), однак кількісно він суттєво залежить від рівня навантаження берегів тріщини L_1 (рис. 6). Для великих глибин h прямолінійної тріщини L_1 ($h / l_1 \geq 100, \varepsilon_1 = 0$) знайдені розкриття Δ_I ($\Delta_{II} \rightarrow 0$) узгоджуються з відомими [4, 10] для нескінченної пластини за різних рівнів навантаження берегів прямолінійної тріщини.

Розглянуту модель смуг пластичності можна застосувати і для визначення іншого типу зон передруйнування (послаблених зв'язків, розрихлення тощо) різних матеріалів з тріщинами, коли замість величини σ_Y використати відповідні (визначені експериментально) характеристики цих зон [11].

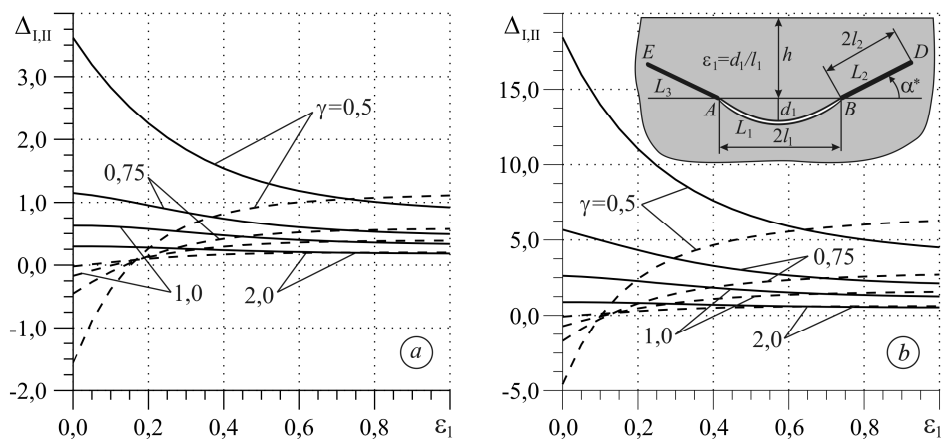


Рис. 6. Вплив параметра ε_1 параболічної тріщини L_1 на відносні розкриття тріщини (Δ_I – суцільні лінії, Δ_{II} – штрихові) у вершині B для різних значень $\gamma = h/l_1$ за внутрішнього тиску $\sigma/\sigma_\gamma = 0,5$ (а) та $\sigma/\sigma_\gamma = 0,9$ (б) на тріщині.

Fig. 6. Effect of parameter ε_1 of parabolic crack L_1 on the relative crack opening (Δ_I – solid lines, Δ_{II} – dashed lines) at the tip B for different values of $\gamma = h/l_1$ for internal pressure $\sigma/\sigma_\gamma = 0.5$ (a) and $\sigma/\sigma_\gamma = 0.9$ (b) at crack.

ВИСНОВКИ

Розв’язано плоскі задачі теорії пружності та механіки руйнування для півплощини з внутрішніми гладкими та кусково-гладкими криволінійними тріщинами. Для тонкої півпластини розглянуто пружно-пластичну задачу в межах моделі смуг пластичності, коли пластичні деформації локалізовані вздовж вузьких смуг, які виходять з вершин тріщини. Розв’язки побудованих систем сингулярних інтегральних рівнянь отримано методом механічних квадратур. Обчислено коефіцієнти інтенсивності напружень у вершинах кусково-гладких приповерхневих тріщин залежно від геометричних параметрів задачі за сталого внутрішнього тиску на берегах тріщини та розтягу півплощини на нескінченності. Визначено параметри (довжини та кути орієнтації) смуг пластичності, які виходять з вершин горизонтальної прямолінійної або параболічної тріщини для низки глибин їх залягання відносно краю півпластини та різних внутрішніх тисків на берегах тріщин. Виявлено, що характер поведінки розкриття у вершинах криволінійної тріщини в основному залежить від рівня її навантаження, форми та глибини залягання. Для глибоких тріщин обчислені величини (коефіцієнти інтенсивності напружень, розкриття у вершинах тріщини, довжини та орієнтації смуг пластичності) узгоджуються з відомими для нескінченної площини з відповідними тріщинами.

РЕЗЮМЕ. Методом сингулярних інтегральних рівнянь решені епруга и епруго-пластическая (в рамках модели полос пластичности) задачи теории упругости и механики разрушения для полуплоскости с внутренними гладкими и кусочно-гладкими трещинами. Численные решения интегральных уравнений получены методом механических квадратур. Определены коэффициенты интенсивности напряжений в вершинах кусочно-гладких приповерхностных трещин, исследованы их зависимости от геометрических параметров задачи при внутреннем давлении на берегах трещины и растяжения полуплоскости на бесконечности. В упруго-пластической задаче исследовано влияние свободного края полуплоскости, уровня нагрузки и формы трещины на раскрытия в ее вершинах, длины и углы ориентации прямолинейных полос пластичности, которые выходят из вершин трещины.

SUMMARY. The elastic and elastoplastic (in the model of plasticity bands) problems of elasticity theory and fracture mechanics for a half-plane with internal smooth and piecewise-smooth cracks are solved by the method of singular integral equations. The numerical solutions

of the integral equations are obtained by a quadrature technique. The stress intensity factors at the tips of piecewise smooth near-surface cracks are obtained and their dependences on the geometric parameters of the problem are identified at an internal pressure at the crack faces and half-plane tension at infinity. For elastoplastic problem we have investigated the influence of the free edge of the half-plate, level of loading and crack form on the crack tip opening, length and orientation angles of the rectilinear plasticity bands that come out of the crack tip.

1. *Саврук М. П.* Система криволинейных трещин в упругом теле при различных граничных условиях на их берегах // Физ.-хим. механика материалов. – 1978. – **14**, № 6. – С. 74–84. (Savruk M. P. System of curved cracks in an elastic body under different boundary conditions on their lips // Materials Science. – 1978. – **14**, № 6. – P. 641–649.)
2. *Саврук М. П.* Двумерные задачи упругости для тел с трещинами. – К.: Наук. думка, 1981. – 324 с.
3. *Саврук М. П., Осив П. Н., Прокопчук И. В.* Численный анализ в плоских задачах теории трещин. – К.: Наук. думка, 1989. – 248 с.
4. *Панасюк В. В., Саврук М. П.* Модель смуг пластичності в пружнопластичних задачах механіки руйнування // Физ.-хим. механика материалов. – 1992. – **28**, № 1. – С. 49–68. (Panasyuk V. V. and Savruk M. P. Model for plasticity bands in elastoplastic failure mechanics // Materials Science. – 1992. – **28**, № 1. – P. 41–57.)
5. *Саврук М. П., Данилович А. М.* Розвиток смуги пластичності біля вершини довільно орієнтованої тріщини у напівнескінченній тонкій пластині // Физ.-хим. механика материалов. – 1992. – **28**, № 3. – С. 25–31. (Savruk M. P. and Danilovich A. M. Growth of plasticity bands around the tip of an arbitrarily oriented crack in a semifinite thin plate // Materials Science. – 1992. – **28**, № 3. – P. 228–233.)
6. *Панасюк В. В., Саврук М. П., Дацьшин А. П.* Распределение напряжений около трещин в пластинах и оболочках. – К.: Наук. думка, 1976. – 444 с.
7. *Дацьшин А. П., Марченко Г. П.* Взаимодействие криволинейных трещин с границей упругой полуплоскости // Физ.-хим. механика материалов. – 1984. – **20**, № 5. – С. 64–71. (Datsyshin A. P. and Marchenko G. P. Interaction of curvilinear cracks with the boundary of an elastic half-plane // Materials Science. – **20**, № 5. – P. 466–473.)
8. *Трибологічна поведінка електролітично наводнених армо заліза та титанового сплаву ОТ-4 / В. І. Похмурський, Х. Б. Василів, В. А. Винар, М. Я. Головчук, Н. Б. Рацька* // Наукові нотатки: Міжвуз. зб. – 2011. – № 31. – С. 270–276.
9. *Мирзаев Д. А., Мирзоев А. А.* Термодинамический аспект выделения растворенного водорода в микропорах металла // Вестник ЮУрГУ “Математика, физика, химия”. – 2006. – № 7. – С. 117–123.
10. *Саврук М. П., Казберук А.* Концентрація напружень у твердих тілах з вирізами // Механіка руйнування та міцність матеріалів: Довідн. посіб. / За заг. ред. В. В. Панасюка. – Львів: Сполом, 2012. – Т. 14. – 384 с.
11. *Міцність і довговічність авіаційних матеріалів та елементів конструкцій / О. П. Осташ, В. М. Федірко, В. М. Учанин, С. А. Бичков, О. Г. Моляр, О. І. Семенець, В. С. Кравець, В. Я. Дереча* // Механіка руйнування та міцність матеріалів: Довідн. посіб. / За заг. ред. В. В. Панасюка. – Львів: Сполом, 2007. – **9**. – 1068 с.

Одержано 16.06.2015